

ผลกระทบของกังหันเทอร์บินต่อการไหลของอากาศในปล่องลมแฉด

The Impact of Turbine on Air Flow in Solar Chimney

ทวิช จิตรสมบูรณ์

สาขาวิชาวิศวกรรมเครื่องกล สำนักวิชาวิศวกรรมศาสตร์ มหาวิทยาลัยเทคโนโลยีสุรนารี อ. เมือง จ.นครราชสีมา 30000

โทร: (044) 224224, โทรสาร: (044)224220, Email: tabon@ccs.sut.ac.th

Tawit Chitsomboon

Dept. of Mechanical Engineering, Institute of Engineering, Suranaree University of Technology,

Nakornratchasima 30000, Thailand, Tel. (044) 224224, Fax. (044) 224220

บทคัดย่อ

ปล่องลมแฉดเป็นทางเลือกหนึ่งในการผลิตกระแสไฟฟ้าจากพลังงานแสงแดด การกังหันเทอร์บินนี้ติดตั้งเข้าไปในปล่องลมแฉดเพื่อผลิตกระแสไฟฟ้าทำให้เกิดแรงด้านการไหลของอากาศเพิ่มขึ้นเมื่อเปรียบเทียบกับการไหลในปล่องเปล่า บวกความนำเสนอกแบบจำลองทางคณิตศาสตร์ที่จำลองแรงด้านการไหลจากเทอร์บินด้วยஎஷ்டுயூதோரிசிஸ் โดยได้พิจารณาผลกระทบของการเปลี่ยนความหนาแน่นผ่านกังหันด้วย ผลลัพธ์ที่ได้นำเสนอโดยเปรียบเทียบกับผลลัพธ์ที่ได้จากการคำนวณเชิงตัวเลข

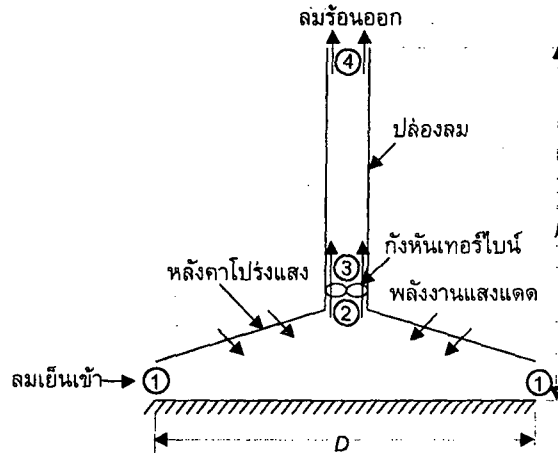
Abstract

Solar chimney is an alternative device to generate electricity from the solar energy. Installation of a turbine to the system creates additional resistance to the flow as compared to flow in a bare chimney. A mathematical model is constructed to study the turbine's effect, with actuator disc assumption. Effects of density change across the disc are also considered. Results are presented in comparison with numerical results obtained from CFD.

1. บทนำ

ปล่องลมแฉด (Solar Chimney) เป็นอุปกรณ์ที่มีศักยภาพในการผลิตกระแสไฟฟ้าจากพลังงานแสงแดดได้ในราคาที่ถูก [1-4] จึงควรจะได้มีการศึกษาวิจัยเพื่อประเมินหาศักยภาพของระบบปล่องลมแฉดในการผลิตกระแสไฟฟ้า ส่วนประกอบต่างๆ ของระบบปล่องลมแฉดได้แสดงไว้ในรูปที่ 1 หลักการทำงานคือ การใช้ความร้อนจากแสงแดดมาอุ่นอากาศภายในปล่องลมตามหลักการของพาหะความร้อนธรรมชาติ (Natural convection) อากาศที่อุ่นแล้วขึ้นด้วยความเร็วจะถ่ายเทผ่านงานจลน์ให้กับกังหันเทอร์บินซึ่งสามารถนำไปหมุนเครื่องกำเนิดพลังงานไฟฟ้าต่อไป

รูปที่ 1 ส่วนประกอบต่างๆ ของระบบปล่องลมแฉด



นักวิจัยในอดีตหลายท่านได้ทำการศึกษาและวิจัยเกี่ยวกับระบบปล่องลมแฉดมาบ้างแล้ว [4-10] โดยได้ผลลัพธ์ที่แตกต่างกันไป เช่น บางท่านทวนกันว่าประสิทธิภาพของระบบอยู่ในเกณฑ์ 1% แต่บางท่านก็ทวนกันว่าอยู่ในเกณฑ์ 20 – 30% นอกจากนี้ยังมีการวิจัยเกี่ยวกับปล่องลมแฉดที่เกี่ยวพันกับการใช้งานในลักษณะอื่น เช่น ใช้ในการระบายความร้อนออกจากอาคาร [11,12] และใช้ในการอบแห้งผลิตภัณฑ์การเกษตร [13,14] เป็นต้น ผู้แต่งได้เริ่มงานวิจัยทางด้านนี้มาตั้งแต่ พ.ศ. 2541 และได้รายงานผลการวิจัยต่อการประชุมวิชาการเครือข่ายวิศวกรรมเครื่องกลในการประชุม ครั้งที่ 12 และ 13 [15,16] และใน [17] ซึ่งเป็นการให้ผลผ่านปล่องเปล่าที่ไม่มีกังหันเทอร์บิน การให้ผลผ่านเทอร์บินด้วยได้รายงานใน [18] แต่มีปัญหาจากการที่ผลลัพธ์ที่ได้ไม่สอดคล้องกับผลเดิมเชิงตัวเลข

2. แบบจำลองทางคณิตศาสตร์

แบบจำลองทางคณิตศาสตร์ที่ได้สร้างขึ้นมีลักษณะเด่นคือ 1. อุปกรณ์ทุกชิ้นในระบบมีปฏิสัมพันธ์เชิงกลศาสตร์ของไหลต่อกันตามธรรมชาติ 2. สมมุติฐานต่างๆ ที่ใช้ในการสร้างแบบจำลอง หรือการวิเคราะห์ได้ๆ นั้น ได้มีการประเมินหาค่าความผิดพลาดด้วย 3. แสงดู

ให้ความร้อนกับอากาศโดยตรงโดยไม่มีการสมมติให้อุณหภูมิเพิ่มขึ้นได้ตามใจชอบ

เพื่อความกระชับ ในเอกสารนี้จะไม่แสดงวิธีการสร้างแบบจำลองของการไฟล์ในปล่องเปล่าที่ไม่มีเทอร์บิน แต่จะยกกรณีที่ได้สร้างไว้แล้วในเอกสารวิจัยฉบับก่อน [18] ดังนี้

$$\begin{aligned} \frac{1}{2} \rho_1 \dot{m} v_1^2 - m^2 \int_1^2 \frac{dA}{\rho A^3 (1 - M^2)} + \dot{m}^2 \int_1^2 \frac{\dot{Q} dA_r}{\rho A^2 (1 - M^2) C_p T} \\ + \dot{m} g h \int_1^2 \frac{\rho M^2}{1 - M^2} \frac{dA}{A} - g h \int_1^2 \frac{\rho}{1 - M^2} \frac{\dot{Q} dA_r}{C_p T} + \frac{\dot{m} \rho_1 v_1^2}{2} \left[\left(\frac{A_1}{A_4} \right)^2 - \left(\frac{A_1}{A_3} \right)^2 \right] = 0 \end{aligned} \quad (1)$$

สมการ (1) เป็นสมการที่ยังไม่พิจารณาเวมิกันหันเทอร์บินแทรกอยู่ระหว่างจุด 2 และ 3 ซึ่งหากมีก็จะทำให้ความดันและความหนาแน่นแตกต่างระหว่างสองจุดนี้ไม่เป็นศูนย์ดังนั้นอาจจำเป็นต้องปรับปรุงต่อไป

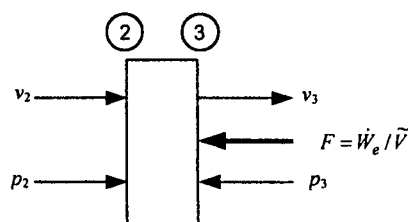
$$\text{หรือ } p_3 = p_1 + \Delta_{32} p + \Delta_{21} p \quad (2)$$

และในทำนองเดียวกันสำหรับปริมาณอื่นๆ หากนำการกระจายน้ำเข้าไปขยายสมการ สมการจะกล้ายเป็น

$$\begin{aligned} \frac{1}{2} \rho_1 \dot{m} v_1^2 - m^2 \int_1^2 \frac{dA}{\rho A^3 (1 - M^2)} + \dot{m}^2 \int_1^2 \frac{\dot{Q} dA_r}{\rho A^2 (1 - M^2) C_p T} \\ + \dot{m} g h \int_1^2 \frac{\rho M^2}{1 - M^2} \frac{dA}{A} - g h \int_1^2 \frac{\rho}{1 - M^2} \frac{\dot{Q} dA_r}{C_p T} \\ + \dot{m} \Delta_{32} \rho + \dot{m} g h \Delta_{32} \rho + \dot{m} g h \Delta_{1\infty} \rho + \frac{\dot{m} \rho_1 v_1^2}{2} \left[\left(\frac{A_1}{A_4} \right)^2 - \left(\frac{A_1}{A_3} \right)^2 \right] = 0 \end{aligned} \quad (3)$$

พจน์ $\dot{m} \Delta_{32} \rho$ และ $\dot{m} g h \Delta_{32} \rho$ เป็นผลจากการเปลี่ยนแปลงความดันและความหนาแน่นผ่านกังหันเทอร์บิน ซึ่งการเปลี่ยนแปลงนี้ขึ้นอยู่กับปริมาณงานที่กังหันเทอร์บินดูดออกจากระบบ ในการจำลองทางคณิตศาสตร์จะเลียนแบบการทำงานของกังหันเทอร์บินด้วยระบบที่เรียกว่า Actuator Disc ดังนั้นจากนี้ไปจะทำการเปลี่ยนพจน์ทั้งสองนี้ให้อยู่ในรูปของงานของเทอร์บินโดยการใช้การจำลองของ Actuator Disc ทั้งนี้โดยใช้สมการอนุรักษ์มวล โมเมนตัม พลังงาน และสมการสถานะ และความสัมพันธ์ทางเทอร์บินโดยนิยมที่ต้องต่อไปนี้

หากตัดจุด 2 และ จุด 3 มาพิจารณาดังรูป ระหว่างจุด 2 และ 3 นี้มี Actuator Disc แทรกอยู่ ซึ่งโดยคำนิยามคือ



รูปที่ 2 แผนภูมิแสดงการทำงานของ Actuator disc

กังหันทางคณิตศาสตร์ที่มีขนาดมากจนไม่มีความหนาแน่ การดูดซับพลังงานถูกทดแทนด้วยเวคเตอร์ของแรงที่กระทำสวนทางกับการไฟล์ (ดังนั้นจึงเป็นการด้านการไฟล์ไว้) เวคเตอร์ของแรงที่กระทำนี้เมื่อถูกหักกับเวคเตอร์ของความเร็วต้องเท่ากับงานที่ดูดซับออกจากของไฟล์ดังนั้น

$$F = \dot{W}_e / \tilde{V} \quad (4)$$

เมื่อ \tilde{V} คือความเร็วของอากาศที่วิ่งผ่าน actuator disc ซึ่งมีค่าเท่ากันที่อยู่ระหว่าง v_2 และ v_3 จากนี้จะพิจารณาสมการอนุรักษ์ต่างๆ ของ การไฟล์ผ่าน actuator disc

สมการอนุรักษ์มวล :

$$\rho_2 A_2 v_2 = \rho_3 A_3 v_3 \quad (5)$$

ซึ่งอาจแปลงให้อยู่ในรูปของความแตกต่างระหว่างจุดทั้งสองได้เป็น

$$\Delta_{32} \rho = - \frac{\rho_2 \Delta_{32} v}{v_3} \quad (6)$$

สมการอนุรักษ์โมเมนตัม :

$$\sum F = \dot{m} (v_{out} - v_{in}) \quad (7)$$

$$\text{หรือ, } p_2 A_2 - p_3 A_3 - F = \dot{m} (v_3 - v_2) \quad (8)$$

แทนค่า F ลงในสมการด้านบนจะได้

$$p_2 A_2 - p_3 A_3 - \frac{\dot{W}_e}{\tilde{V}} = \dot{m} (v_3 - v_2) \quad (9)$$

เนื่องจาก $A_2 = A_3 = A$ จึงจัดสมการได้ใหม่ ดังนี้

$$\Delta_{32} \rho = - \frac{\dot{W}_e}{\tilde{V} A} - \frac{\dot{m} \Delta_{32} v}{A} \quad (10)$$

โดยการใช้สมการสภาวะ ($p = \rho R T$) อาจเขียนได้เป็น

$$\rho_3 \Delta_{32} T + T_2 \Delta_{32} \rho = - \frac{\dot{W}_e}{R \tilde{V} A} - \frac{\dot{m} \Delta_{32} v}{R A} \quad (11)$$

สมการอนุรักษ์พลังงาน:

$$\left(C_v T + \frac{p}{\rho} + \frac{v^2}{2} \right)_2 - \left(C_v T + \frac{p}{\rho} + \frac{v^2}{2} \right)_3 = \frac{\dot{W}_e}{\dot{m}} \quad (12)$$

ซึ่งหลังจากการใช้สมการสภาวะและสมการอนุรักษ์มวลอาจเปลี่ยนให้อยู่ในรูปดัวแปรแตกต่างได้เป็น

$$\Delta_{32}T + \frac{\bar{v}\Delta_{32}\nu}{C_p} = -\frac{\dot{W}_e}{mC_p} \quad (13)$$

โดย $\bar{v} = 0.5(\nu_2 + \nu_3)$ สมการ (6), (11) และ (13) เป็นสามสมการที่มีตัวแปรหลักคือ $\Delta\rho$, ΔT , $\Delta\nu$ ซึ่งสามารถใช้การมวีธีทางพีชคณิตหาค่าของตัวแปรเหล่านี้ได้ในนามของพารามิเตอร์ตัวอื่นๆ ในสมการ (กล่าวคือ W_e^*) ดังนี้

$$-\dot{m}\Delta_{32}\rho = \rho_1\dot{W}_e + \frac{\nu_1^2(A_1/A_3)^2\rho_1\dot{W}_e}{C_pT_1(y-1)} \quad (14)$$

$$\dot{m}gh\Delta_{32}\rho = -\frac{\rho_1\dot{W}_e g h}{T_2 C_p} \left(\frac{1}{y-1} \right) \quad (15)$$

แทนค่าสมการ (14) และสมการ (15) ลงในสมการ (3) ซึ่งเป็นสมการควบคุม จะได้

$$\begin{aligned} & \frac{1}{2}\rho_1\dot{m}\nu_1^2 - \dot{m}^3 \int_1^2 \frac{dA}{\rho A^3(1-M^2)} + \dot{m}^2 \int_1^2 \frac{\dot{Q}dA_r}{\rho A^2(1-M^2)C_pT} \\ & + \dot{m}gh \int_1^2 \frac{\rho M^2}{1-M^2} \frac{dA}{A} - gh \int_1^2 \frac{\rho}{1-M^2} \frac{\dot{Q}dA_r}{C_pT} + \left(\rho_1\dot{W}_e + \frac{\nu_1^2(A_1/A_3)^2\rho_1\dot{W}_e}{C_pT_1(y-1)} \right) \\ & - \frac{\rho_1\dot{W}_e g h}{T_2 C_p} \left(\frac{1}{y-1} \right) + \dot{m}gh\Delta_{1\infty}\rho + \frac{\dot{m}\rho\nu_1^2}{2} \left(\left(\frac{A_1}{A_4} \right)^2 - \left(\frac{A_1}{A_2} \right)^2 \right) = 0 \end{aligned} \quad (16)$$

ผลเฉลยของสมการนี้คือสำคัญที่สุด

3. คำตوبนของแบบจำลองทางคณิตศาสตร์

สมการ (16) เป็นสมการอินกิรัลที่ยังมีตัวแปรอื่นๆ ที่นอกเหนือจากตัวแปรที่ต้องการหาค่าตอบปะบันอยู่ด้วย ซึ่งสามารถจัดออกได้โดยการประมาณการเชิงวิเคราะห์ ข้อมูลฐานต่างๆ ที่นำมาใช้ในการประมาณการเหมือนดังใน [16-18] ซึ่งจะทำให้ได้สมการการเคลื่อนที่ของอากาศร้อนภายในปล่องลม ดังนี้

$$\begin{aligned} & \frac{1}{2}\dot{m}\nu_1^2 \left[\rho_1 - 2\rho_1 A_1^2 \int_1^2 \frac{dA}{A^3} + \frac{2A_1\dot{Q}}{\nu_1 C_p T_1} \int_1^2 \frac{dA_r}{A^2} + \frac{2A_1^2 \rho_1 g h}{yRT_1} \int_1^2 \frac{dA}{A^3} \right. \\ & \left. - \frac{2A_1\dot{W}_e}{\nu_1 A_3^2 C_p T_1(y-1)} + \rho_1 \left(\left(\frac{A_1}{A_4} \right)^2 - \left(\frac{A_1}{A_2} \right)^2 \right) \right] \\ & = \frac{\rho_1 g h \dot{Q}}{C_p T_2} \int dA_r + \rho_1 \dot{W}_e \left(1 + \frac{gh}{T_2 C_p(y-1)} \right) \end{aligned} \quad (17)$$

ซึ่งอินทีเกรตต์ของมาระจะได้กราฟตัววัดและอุณหภูมิค่าตัวแปร ν_1 ได้ดังนี้

$$C_1\nu_1^3 + C_2\nu_1^2 = C_3 \quad (18)$$

โดยที่ค่าคงที่ C_1, C_2 และ C_3 มีค่าดังนี้

$$C_1 = \frac{\rho_1^2 A_1^3}{2A_2^2} + \frac{\rho_1^2}{2} \left(\left(\frac{A_1}{A_4} \right)^2 - \left(\frac{A_1}{A_3} \right)^2 \right) + \frac{\rho_1^2 A_1 g h}{2yRT} \left[1 - \left(\frac{A_1}{A_2} \right)^2 \right] \quad (19)$$

$$C_2 = \frac{\rho_1 A_1^2 \dot{Q} \ln(D/d)}{2\pi h_r^2 C_p T_1} + \frac{\rho_1 A_1^2 \dot{W}_e}{A_3^2 C_p T_1(y-1)} \quad (20)$$

$$C_3 = \frac{\rho_1 g h A_r}{C_p T_3} - \rho_1 \dot{W}_e \left(1 - \frac{gh}{T_2 C_p(y-1)} \right) \quad (21)$$

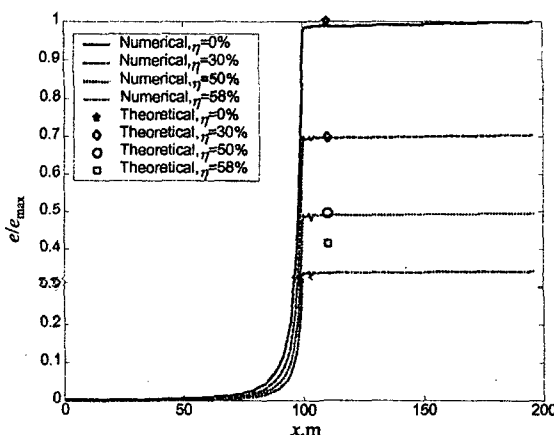
ซึ่งสามารถแก้สมการหาค่า ν_1 ได้ ซึ่งจะทำให้สามารถหาค่าต่างๆ ต้องการได้ทั้งหมด เช่น พลังงาน ประสิทธิภาพ

4. ผลลัพธ์และการวิเคราะห์

การพิจารณาความถูกต้องของสมการที่ (18) ได้ทำโดยการนำผลลัพธ์ที่ได้มาเทียบกับค่าที่ได้จากวิธีการทางกรรมวิธีเชิงตัวเลข [18] ซึ่งเป็นการแก้สมการอย่างละเอียดโดยโปรแกรม CFD (Computational Fluid Dynamics) โดยกำหนดสัดส่วนการคูณด้วยตัวแปร ν_1 เท่ากับ 0% 30% 50% และ 58% ของพลังงานผลในปล่องลมเปล่า (ที่ไม่มีกังหันเทอร์บิน) ค่าประสิทธิภาพของกังหันเทอร์บินสามารถกำหนดสูงสุดได้เท่ากับ 58% เนื่องจากหากกำหนดเกินค่านี้แล้วการใช้กรรมวิธีเชิงตัวเลข ไม่สามารถหาค่าตอบปันที่กับสมการได้ [18]

รูปที่ 3 แสดงให้เห็นถึงพลังงานเฉลี่ยของระบบภายหลังจากที่ถูกดูดเข้าไปแล้วโดยกังหันเทอร์บิน ความพยายามของแกนนอนคือแนวทางการให้เหล็งรั้งนับตั้งแต่ทางเข้าของหลังคา ดังนี้ ค่า $x=0$ -100 เป็นช่วงของหลังคา และ $x=100-200$ เป็นช่วงของปล่องลม การนำเสนอด้านล่างเป็นอัตราส่วนของพลังงานคงเหลือที่ค่าสัดส่วนการคูณด้วยตัวแปร ν_1 ต่างๆ ต่อพลังงานเฉลี่ยสูงสุดของระบบเมื่อไม่มีการติดตั้งเทอร์บิน จากรูปจะเห็นว่าเมื่อสัดส่วนการคูณด้วยตัวแปร ν_1 ไม่มีค่าเพิ่มมากขึ้น ค่าพลังงานของไอลองค์เหลือในระบบจะมีค่าลดลง โดยค่าพลังงานเฉลี่ยในการจำลองทางคณิตศาสตร์มีค่าลดลงตามค่าสัดส่วนที่ได้สูญเสียไปให้กับเทอร์บิน เช่นถูกคูณไป 30% ก็มีพลังงานคงเหลือประมาณ 70% เป็นต้น

จากรูปจะเห็นว่าผลลัพธ์ที่ได้จากการจำลองทางคณิตศาสตร์นั้นมีอยู่จุดเดียว คือจุดที่แสดงไว้ด้วยตัวสัญลักษณ์ต่างๆ ดังในรูปที่ 3 และได้ใส่สัญลักษณ์ที่ระบุค่าเหล่านี้ไว้ที่ค่า $x = 110$ ม. (และใช้ตัวระบุว่า theoretical) ทั้งนี้เพื่อความสะดวกในการพิจารณากราฟเมื่อต้องการเปรียบเทียบกับผลลัพธ์ที่ได้จากการมวีธีเชิงตัวเลข (ระบุด้วยค่าว่า numerical) ทั้งนี้ เพราะผลลัพธ์ที่ได้จากการมวีธีเชิงตัวเลขมีค่าใกล้เคียงกันตั้งแต่ $x = 100$ เมตร ถึง $x = 200$ เมตร



รูปที่ 3 อัตราส่วนของพลังงานจลน์ในทางทฤษฎีเทียบกับการวิธีเชิงตัวเลขโดยที่ประสิทธิภาพของกันเหล็กอยู่ในค่าต่างๆ

เมื่อเปรียบเทียบผลลัพธ์ที่ได้จากการจำลองทางคณิตศาสตร์กับการวิธีเชิงตัวเลขจะเห็นว่า ที่ค่าสัดส่วนการดูดซับต่ำๆ นั้นค่าพลังงานคงเหลือมีค่าใกล้เคียงกันมาก (กล่าวคือตัวสัญลักษณ์เกือบก่ายข้ออนกันกับแนวเส้นผลลัพธ์ของรวมวิธีเชิงตัวเลข) แต่เมื่อค่าสัดส่วนการดูดซับมีค่าสูงขึ้นเท่ากับ 58% พลังงานจลน์คงเหลือในการจำลองทางคณิตศาสตร์จะสูงกว่าพลังงานจลน์คงเหลือของการวิธีเชิงตัวเลขมากจนเห็นได้ชัด

ผลลัพธ์ที่แตกต่างกันของสองกรณีวิธีเมื่อ η มีค่าสูงประมาณ 58% นี้ได้สันนิษฐานไว้ใน [18] ว่าอาจมาจากการจำลองแบบคณิตศาสตร์ที่สมมุติให้ความหนาแน่นในปล่องลมมีค่าคงตัวตั้งแต่ฐานปล่องไปจนถึงปลายปล่อง สมมุติฐานนี้อาจใช้ได้ดีในปล่องลมเปล่าที่ไม่มีกันเหล็กอยู่ใน [18] แต่สำหรับปล่องลมที่มีการติดตั้งกันเหล็กอยู่ในนั้น น่าจะมีการเปลี่ยนแปลงความดันและอุณหภูมิพื่อสมควรเมื่อของไหหลังผ่านกันเหล็กอยู่ใน [18] ซึ่งแน่นอนว่าจะทำให้ความหนาแน่นเปลี่ยนไปด้วย การเปลี่ยนค่าความหนาแน่นในการนี้น่าจะมีผลกระทบอย่างมากต่อการไหล ทั้งนี้เพราการไหลถูกขับด้วยค่าความแตกต่างระหว่างความหนาแน่นในปล่องลมกับความหนาแน่นบรรยากาศ

เพื่อพิสูจน์ว่ามีจุดที่ได้ตั้งไว้ดังกล่าวข้างต้น จึงได้ทำการจำลองแบบกันเหล็กอยู่ในด้วย actuator disc ที่จะอธิบายข้างต้น ในการนี้ได้พิจารณาให้การไหลผ่าน actuator disc เป็นการไหลที่มีการเปลี่ยนแปลงความดันความหนาแน่น และความเร็ว (ซึ่งเท่ากับว่ายอมให้มีการเปลี่ยนอุณหภูมิด้วย เพราอุณหภูมิถูกกำหนดโดยความดันและความหนาแน่นโดยสมการสถานะ) ปรากฏว่า ผลลัพธ์ที่ได้มีการเปลี่ยนแปลงจากเดิมใน [18] น้อยมาก

เพื่อทำความกระจ่างกับประเด็นที่มีการเปลี่ยนแปลงผลลัพธ์น้อยมากทั้งที่ได้ทำการสร้างแบบจำลองที่มีความละเอียดมากขึ้น อาจพิจารณาได้จากสมการ (14) และ (15) ซึ่งจะเห็นว่าอิทธิพลของการเปลี่ยนค่าความหนาแน่นอยู่ในสมการที่ (15) ส่วนอิทธิพลของการเปลี่ยนแปลงความดันอยู่ในสมการที่ (14) หากเทียบขนาดของพจน์ทางขวาเมื่อของสมการ (15) กับพจน์แรกทางขวาเมื่อของสมการ (14) จะเห็นว่ามีขนาดแตกต่างกันที่ขนาดของพจน์ $\frac{gh}{T_2 C_p} \left(\frac{1}{\gamma - 1} \right)$ ซึ่งอาจลงประมูล

ขนาดของพจน์นี้ได้ เช่น ให้ $g = 9.8$, $h = 200$, $T_2 = 340$, $C_p = 1000$, $\gamma = 1.4$ จะได้ว่า

$$\frac{gh}{T_2 C_p} \left(\frac{1}{\gamma - 1} \right) = 0.0144 \quad (22)$$

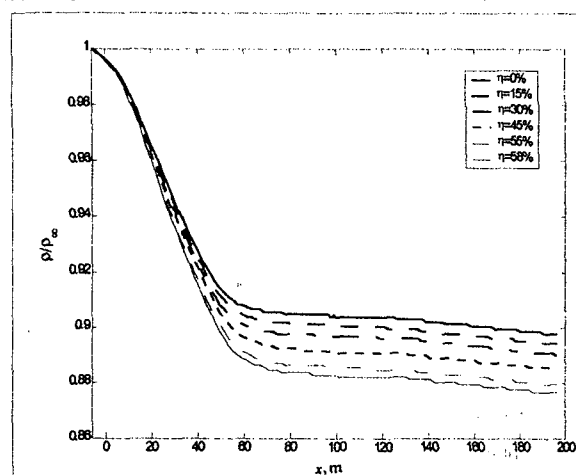
ซึ่งหมายความว่าอิทธิพลของการเปลี่ยนความหนาแน่นมีผลต่อระบบไฟฟ้าบิน 1.44% ซึ่งถือว่าเพลิงอย่างการเปลี่ยนค่าความดันเท่านั้น สำหรับพจน์ที่สองทางขวาเมื่อของสมการ (14) ก็สามารถประเมินขนาดเทียบกับพจน์แรกได้เช่นเดียวกัน ซึ่งจะเห็นได้ว่าขนาดแตกต่างกันคือ

$$\frac{v_1^2 (A_1 / A_3)^2}{C_p T_1 (\gamma - 1)} \approx \frac{v_3^2}{C_p T_1 (\gamma - 1)} \approx \frac{v_3^2}{C_p T_3 (\gamma - 1)} \approx \frac{v_3^2}{\gamma R T_3} \approx M_3^2 \quad (23)$$

แต่ค่าเลขมัก (M_3) มีค่าน้อยมากสำหรับการให้ความเร็วต่าเช่นนี้ ดังนั้นพจน์ที่สองทางขวาเมื่อของสมการ (14) จึงมีค่าน้อยมากเมื่อเทียบกับพจน์แรก

ดังนั้นแม้จะมีพจน์ต่างๆ ที่มีผลการทางที่เพิ่มเติมขึ้นมาหลายพจน์ แต่พจน์แรกทางขวาเมื่อของสมการที่ (14) (ซึ่งเป็นพจน์เดียวที่ใช้ในการวิเคราะห์และรายงานผลใน [18]) เป็นพจน์เดียวที่มีขนาดใหญ่ ส่วนพจน์ที่เพิ่มเติมขึ้นมาเมื่อขนาดเล็กมากเมื่อเทียบกับพจน์นี้ ซึ่งอธิบายว่าเพราเหตุได้การวิเคราะห์ที่จะอธิบายมากขึ้นจึงไม่มีผลในทางปฏิบัติแต่ประการใด

รูปที่ 4 ได้นำเสนอผลลัพธ์ของค่าตอบเชิงตัวเลขของ ความหนาแน่นตลอดแนวการไหล จะเห็นว่าตรงส่วนของ actuator disc มีการเปลี่ยนแปลงความหนาแน่นค่อนข้างมาก แต่ว่าในการวิเคราะห์ทางทฤษฎีนั้นความหนาแน่นไม่ได้ทำให้ความดันเปลี่ยนมากนัก ซึ่งค้านกันอยู่พื่อสมควร จึงควรต้องศึกษาหาสาเหตุและผลกระทบของการแตกต่างนี้ต่อไป



รูปที่ 4 อัตราส่วนของความหนาแน่นโดยความหนาแน่นที่ระดับเดิมเทียบกับระดับตามแนวการไหลของอากาศ

5. สรุป

การใช้กังหันเทอร์บีนเข้าไปในระบบตรงคือด้านล่างของปัลล่องลม โดยการจำลองด้วย Actuator disc นั้น ผลลัพธ์ที่ได้จากการวิเคราะห์ทางทฤษฎีแตกต่างจากผลลัพธ์ที่ได้จากการวิเคราะห์ด้วย Computational Fluid Dynamics (CFD) กล่าวคือ CFD ระบุว่าสามารถดูดซับงานได้เพียงประมาณ 58% ซึ่งเป็นค่าที่ใกล้เคียงกับ Betz's Limit ของกังหันลมธรรมด้า แต่ทฤษฎีระบุว่า สามารถดูดซับงานให้แก่เทอร์บีนได้มากกว่านี้ จึงต้องทำการวิเคราะห์และวิจัยต่อไปว่าความแตกต่างเกิดขึ้นด้วยสาเหตุใด อย่างไรก็ได้ ที่อัตราส่วนการดูดซับประมาณ 30% (ซึ่งเป็นค่าตัวเลขในทางปฏิบัติ) ผลลัพธ์เชิงทฤษฎีกับเชิงตัวเลขมีความสอดคล้องกันดี

6. นิยามตัวสัญลักษณ์

- A = พื้นที่หน้าตัดของการไหล
- A_r = พื้นที่ของหลังคารับแดด
- A_s = ความเร็วเสียง
- C_p = ค่าความจุความร้อนของของไหล
- D = เส้นผ่าศูนย์กลางของหลังคารับแดด
- D_s = เส้นผ่าศูนย์กลางของปัลล่องลม
- h = ความสูงของปัลล่องลม
- h_r = ความสูงของหลังคาจากพื้นดิน
- M = เลขมัค
- m = อัตราการไหลโดยมวลของของไหล
- p = ความดันของของไหล
- \dot{Q} = ความเข้มของพลังงานแสงแดดต่อหน่วยพื้นที่
- q = อัตราการให้ความร้อนต่อหน่วยมวล
- T = อุณหภูมิของของไหล
- v = ความเร็วของของไหล
- \dot{W}_e = พลังงานที่ดูดออกจากร่องไฟลดโดยกังหันเทอร์บีน
- ρ = ความหนาแน่นของของไหล
- η = ประสิทธิภาพของกังหันเทอร์บีน
- γ = อัตราส่วนความร้อนจำเพาะ
- Δx_{ij} = ความแตกต่างของ x ระหว่างจุด i กับจุด j

7. กิตติกรรมประกาศ

โครงการวิจัยนี้ได้รับทุนอุดหนุนการวิจัยจากกองทุนเพื่อส่งเสริมการอนุรักษ์พลังงาน ผ่านกองอนุรักษ์พลังงานและพลังงานทดแทน สำนักงานคณะกรรมการนโยบายพลังงานแห่งชาติ ผู้วิจัยขอขอบคุณ คุณพรสวรรค์ ทองใบ ที่ให้การช่วยเหลืออย่างดียิ่งในการจัดทำบันทึกความนี้

เอกสารอ้างอิง

- [1] Schlaich, J., et al, "Solar Chimneys," Encyclopedia of Physical Science and Technology, 1990 Yearbook, Academic Press
- [2] McGraw-Hill Yearbook of Science and Technology, 1994, pp. 356-358
- [3] R. Richards, "Hot Air Starts to Rise Through Spain's Solar Chimney," Electrical Review, Vol. 210, No. 15, pp.6-27, April 1982
- [4] H. Lautenschlager, et. al, "New Results from the Solar Chimney Prototype and Conclusions for Large Power Plants," European Wind Energy Conference, Hamburg, FRG., Oct 1984
- [5] L.B. Mullett, "The Solar Chimney - Overall Efficiency, Design and Performance," International Journal of Ambient Energy, Vol. 8, No. 1, 1987
- [6] M.M. Padki, S.A. Sherif, "Fluid Dynamics of Solar Chimney," Presented at The Winter Annual Meeting of ASME, Chicago, Illinois, 1988
- [7] M.M. Padki, S.A. Sherif, "Solar Chimney for Medium-to-Large Scale Power Generation," Proceedings of The Manila International Symposium on the Development and Management of Energy Resources, Jan 1989
- [8] M.M. Padki, et al, "Solar Chimney for Power Generation in Rural Areas," Presented at the Seminar on Energy Conservation and Generation Through Renewable Resources (organized by The Indian Institute of Metals), Jan 1989
- [9] Padki, M.M. and Sherif, S.A., "A Mathematical Model for Solar Chimneys," Proceedings of the 1992 International Renewable Energy Conference, Vol.1 June 1992
- [10] M.Q. Yan, et al, "Thermo-Fluid Analysis of Solar Chimney," Presented at The Winter Annual Meeting of The American Society of Mechanical Engineers, Atlanta, Georgia, Dec 1991
- [11] Bansal, K.N., et. al, "A Study of Solar Chimney Assisted Wind Tower System for Natural Ventilation in Buildings," Building and Environment, Vol. 29, No. 4, pp. 495-500., 1994
- [12] Barozzi, G.S., et. al, "Physical and Numerical Modelling of a Solar Chimney-based Ventilation System for Buildings," Building and Environment, Vol. 27, No. 4, pp. 433-445, 1992.
- [13] Das, S.K. and Kumar, Y., "Design and Performance of a Solar Dryer with Vertical Collector Chimney Suitable for Rural Application," Energy Convers. Mgmt., Vol. 29, No.2, pp. 129-135, 1989.
- [14] Excell, R.H.B., "Basic Design Theory for a Simple Solar Rice Dryer", Renewable Energy Review Journal, Vol.1, No.2, pp. 1-14, 1980.

- [15] Chitsomboon, T. and Tongbai, P., 1998, "A Mathematical Model of Solar Chimney for Electrical Energy Production," Proceedings of the 12th National Mechanical Engineering Conference, Nov. 11-13, Bangkok, Thailand.
- [16] Chitsomboon, T. and Tongbai, P., 1999, "The Effect of Chimney-Top Convergence on Efficiency of a Solar Chimney," Proceedings of the 13th National Mechanical Engineering Conference, Dec.2-3, Pataya, Thailand.
- [17] Chitsomboon, T., "A Validated Analytical Model for Flows in Solar Chimney", (accepted) Inter.Journal Renewable Energy Engineering, Vol. 3. No.2 (or the next issue) , 2001.
- [18] Chitsomboon,"Numerical Simulation of Flow in Solar Chimney with Turbine ", Proceeding the first regional conference on energy technology toward a clean environment, Organized by the joint graduate school of energy and environment, Dec.1-2, 2000, Chiangmai,Thailand